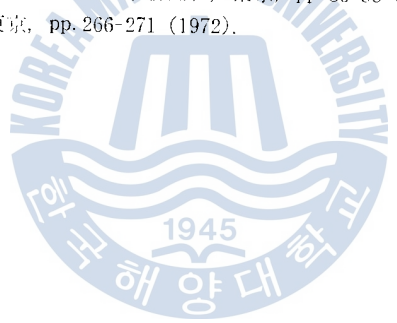


參 考 文 獻

1. P.D. Dunn, D.A. Reay : Heat Pipes, Pergamon Press, New York, p.14 (1977).
2. J.P. Holman : Heat Transfer, 光林社, 서울, pp.44-47 (1980).
3. Frank Kreith : Principles of Heat Transfer, Intext Educational Publishers, New York, pp.97-125 (1975).
4. W.B. Harper, D.R. Brown : Mathematical Equations for Heat Conduction in the Fins of Air-Cooled Engines, NACA Rep. 158 (1922).
5. E.R.G. Eckert, Robert M. Drake : Analysis of Heat and Mass Transfer, McGraw-Hill Kogakusha, p. 84 (1972).
6. Rohsenow, Hartnett : Hand Book of Heat Transfer, McGraw-Hill, New York, pp.3-113 (1973).
7. 森康夫 : 热傳達特論, 製華房, 東京, p.71 (1978).
8. 前掲書2) : pp.370-375.
9. America society for metals : Metal hand book, Metal Park, Ohio, Vol.1, pp.1007-1028 (1969).
10. 日本機械學會 : 傳熱工學資料, 明善社, 東京, p.324 (1975).
11. 安藤常世 外9人 : 機械工學實驗法, 日刊工學新聞社, 東京, pp.86-88 (1972).
12. 谷口修 : 機械計測, 養賢堂, 東京, pp.266-271 (1972).



切削깊이가漸變하는過渡切削 過程에關한研究

白 仁 煥

Study on the Transient Cutting Process with
Gradual Increase of Cutting Depth

Paik Inwhan

目 次	
1. 緒論	3.1 切削抵抗의變化過程
2. 實驗裝置 및 方法	3.2 表面輪廓의檢討
2.1 實驗裝置	3.3 切削始作點에對한考察
2.2 試驗片	3.4 切削條件의過渡切削特性에 미치는影響
2.3 工具	3.5 定常切削過程에의活用에對한提言
2.4 切削抵抗의測定	4. 結論
2.5 表面거칠기 및 表面輪廓의測定	參考文獻
2.6 實驗에 있어서의파라미터	
3. 實驗結果 및 考察	

Abstract

The cutting force and the surface roughness were measured and analyzed by an experiment on the low speed orthogonal cutting with gradual increase of cutting depth, and the effects of some machining conditions in the transient cutting process were investigated in this paper. Some results observed are as follows:

1. The transient region from the beginning of contact between cutting tool and workpiece to the steady state cutting is classified into three regions; elastic deformation region, plastic deformation region, and cutting region. Moreover, these regions are distinctly observed by the measurement of surface roughness and surface profile.
2. The more the increasing rate of cutting depth, the less the sliding distance. The cutting depth and the critical normal force at beginning of cutting are not con-

- rned with the increasing rate of cutting depth.
3. The critical normal force and the sliding distance are proportional to the hardness of workpiece.
 4. when the cutting speed increases, the sliding distance increases proportionally to it, and the critical normal force increases slightly.

1. 緒論

本研究에서는 주제의 제작과 함께 多刃回轉工具의 依存 加工이라는 工具가 進行하는 과정에 切削刃이가 漸變하는 工具와 被削材가 接觸하는 부터 甚麼 切削刃이 始作되자 首先 過渡的 現象이 나타난다. 即 工具와 加工表面과 接觸한 순간부터 칩(chip)이 發生하는 것이 아니고, 那들이 加工表面과 接触하는 後에 칩을 發生시켜 切削刃이 하루이 지나, 이와 같은 칩이 發生되자 啓動(ignition) 現象은 潑性變形領域와 潑性變形領域으로 나누고 각각 러빙(rubbing), 플로우잉(Ploughing)이라고 부른다. 그 特性에 關하여 研究한 結果가 報告되어 있다.^{1),2)} 이외에 過渡現象은 霍刻(hatcher) 振動等 發生 原因에 대해서³⁾, 表面의 粗糙에 影響을 주며 加工表面의 殘留應力を 남기고^{4)~6)}, 加工堆疊나 滑移的原因이 되기도⁷⁾, 初期切削現象과는 過渡切削現象의 對하여 諸多的研究가 이루어져 있다.^{8)~16)}

與為是看⁸⁾ 차기률 當보다 甚麼 時候의 차기問題을 潑性力學의 理論을 檢討하여 負의 傾斜角에 對한 切削機構을 解明하고 切削初期에서 定常狀態로 轉할 때 까지의 變化를 考察하였다.

勇田⁹⁾ 模型切削 實驗에 依하여 轉位論의 觀點에서 潑性現象의 特性을 觀察하였으며²⁾, 工具의 半徑과 被削材 表面層의 性質이 初期切削 現象에 미치는 影響에 對하여 光明하고¹⁰⁾ 切削力소음과 潑性 및 被削材溫度의 影響에 關하여 研究하였다.¹⁰⁾

山本泰¹¹⁾ 工具의 當보다 半徑이 切削初期 現象에 미치는 影響을 光明하여 切削初期의 力量을 導出하였으며, 그 力量을 利用하여 接觸面에 作用하는 方向에 對하여 光明하고 光彈性 實驗을 通して 檢討하였다.

小栗¹²⁾ 單刃回轉工具에 依하여 水平電磁가속 實驗으로 材料의 加工硬化와 切削抵抗에 切削抵抗變化에 미치는 影響을 光明하였으며¹²⁾, 亂流가 속 初期의 切削抵抗變化와 침과 生成過程에 對하여 檢討하였다.¹³⁾

宇野¹⁴⁾ 單刃回轉工具에 依하여 旋削에 依하여 實驗을 行하여 切削抵抗의 變化過程을 光明되었으며¹⁴⁾, 離刃¹⁵⁾ 現象을 依하여 切削實驗으로 表面의 粗糙에 對하여 檢討하였다.¹⁵⁾

本研究 過渡切削 現象의 切削性能에 미치는 影響을 光明하고 過渡切削 現象을 定量化하는 題目을 考察하였고, 그 結果를 定常切削의 理論에 活用하는 것에 期待된다.

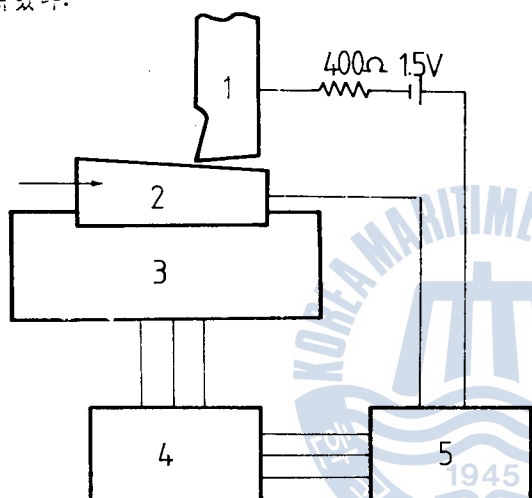
本研究에서는 過渡切削 過程의 關註 現象을 光明하기 爲하여 亂流¹⁶⁾ 用以 亂流의 亂流場을 固定하고 亂流場을 移送하여 切削抵抗이 減增하는 三次元 低速 切削 實驗을 行하여 切削抵抗의 變化過程을 測定하고, 表面의 粗糙을 測定함에 依하여 表面의 粗糙에 表面輪廓을 調定하였다, 切削抵抗

의 變化와 表面輪廓의 特性을 比較檢討하였다. 또 切削깊이 增加率, 切削速度, 被削材의 硬度등 몇 가지 切削條件이 過渡切削 過程에 어떤 영향을 미치는가에 對하여 考察하였다.

2. 實驗裝置 및 方法

2.1 實驗裝置

본 研究에 利用된 切削抵抗 測定裝置의 構成은 Fig. 1과 같으며 實驗裝置의 사진을 Fig. 2에 나타내었다.



1. Tool
 2. Workpiece
 3. Tool Dynamometer
 4. Dynamic Strain Amp.
 5. Electronic Oscillograph
- Fig. 1. Schematic diagram of cutting force measuring system

切削抵抗을 測定할 때 工具와 被削材가 接觸하기 始作하는 것을 確認하기 為하여 Fig. 1에 보인 바와 같이 400Ω 의 抵抗과 $1.5V$ 의 乾電池로 回路를 만들어서 전자 오실로그라프에 入力시키고, 서로 絶緣되어 있는 工具와 被削材가 스위치 役割을 하도록 하였다.

2.2 實驗片

試驗材料는 S20C 및 S45C 鋼으로 壓延한 4角棒材를 せ었으며, 밀 링가공한 후 研削하여 Fig. 3 (a)와 같은 치수로 試驗片을 만들고 热處理하였다. S20C는 真空中에서 880°C 로 1時間 加熱한 後에 爐冷 空冷 油冷 하였으며, S45C는 真空中에서 850°C 로 1時間 加熱한 後에 爐冷 空冷하여 硬度가 각각 다른 試驗片을 얻었다. 또 热處



Fig. 2. Views of experimental apparatus

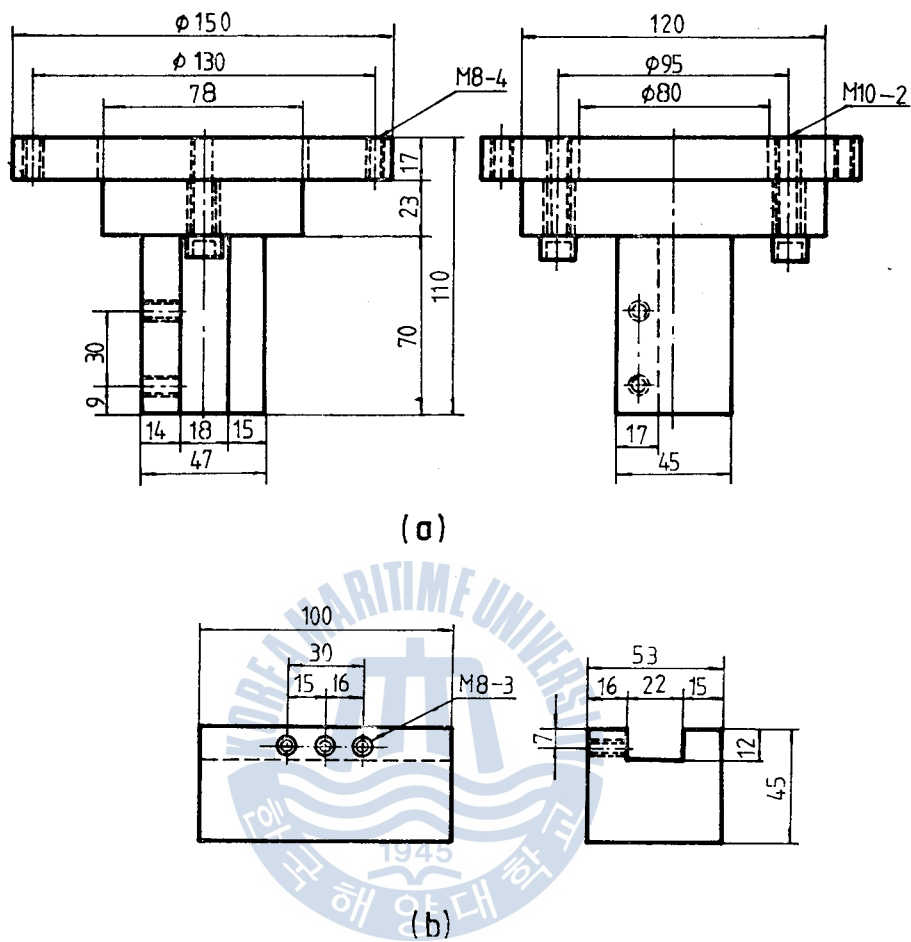


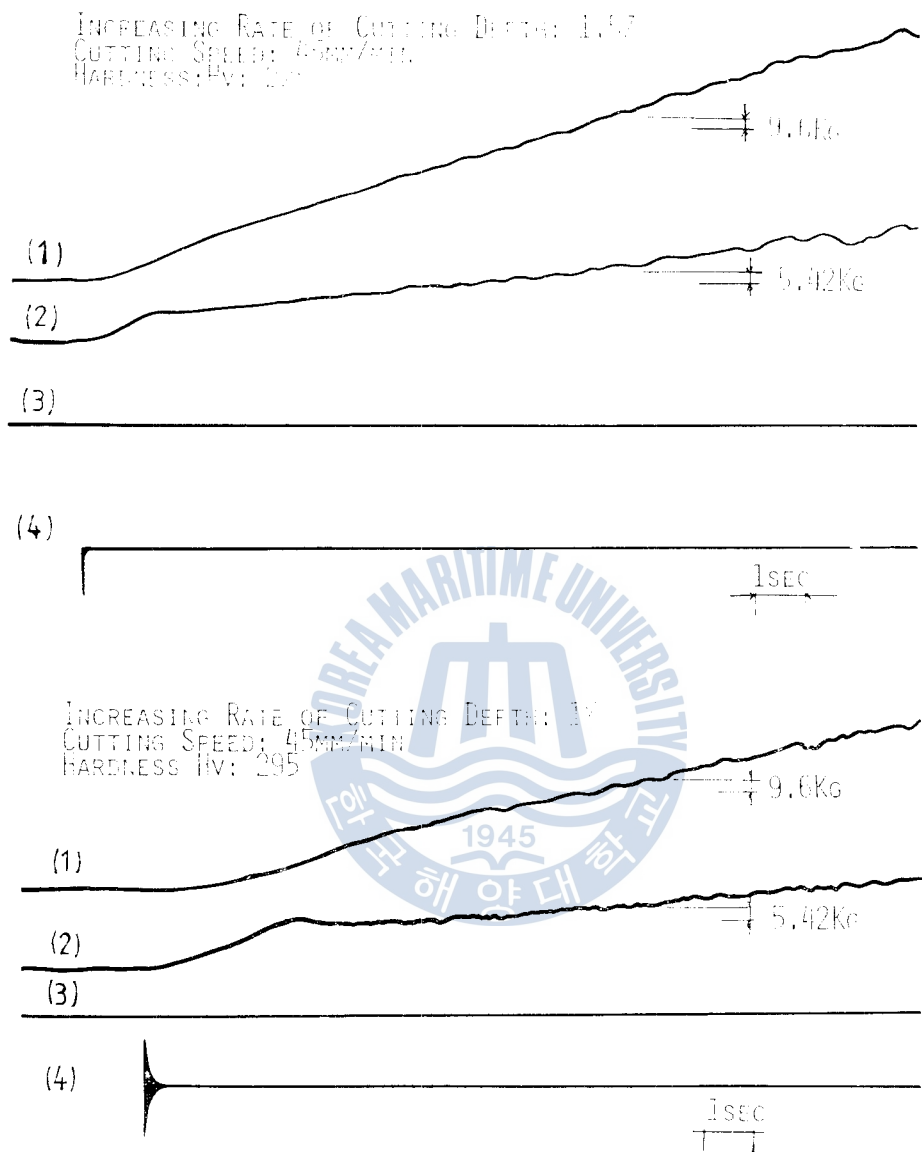
Fig. 4. Tool holder (a) & vise (b)

을어지게 設置하여 工作物을 固定하였다. 바이스의 기울기는 한 쪽 끝에 블록게이지를 받혀서 다이얼 게이지로 測定하여 垂直을 수 있었으며, 工具와 試驗片이 切削方向에 수직인 線上에서 同時 接觸을 할 수 있도록 工具 處理器를 微動調節하고 試驗片 固定에 유의하였다.

切削은 테이블의 移送에 依하여 이루어 졌으며, 切削抵抗을 測定한 結果의 例를 Fig. 5에 나타내었다. 그림에서 (1)은 接線分力(主分力), (2)는 法線分力(背分力), (3)은 移送分力, (4)는 接觸狀態를 나타내며, 接觸 前後의 移送分力의 變化가 없기 때문에 二次元 切削이 이루어짐을 確認할 수 있다.

한편 工具動力計의 게이지 定數(gauge factor)는 接線方向 0.96, 法線方向 0.542이며, 增幅器의 게인을 1로 놓고 最大 最小의 範圍(range)를 100으로 했을 때 오실로그라프의 눈금 變化가 10이었으므로, 記錄된 結果의 매 눈금마다 荷重은 接線方向 9.6kg, 法線方向 5.42kg이다. 또 게이지의相互干渉에 依하여 發生될 수 있는 오차는 2%미만 이므로 無視하였다.

또 각각의 切削 條件에 對하여 4回 以上 測定하고 有意性이 있는 3개를 取하여 平均하여 實驗值로 하였다.



(1) Tangential Force (3) Force in Feed Direction
 (2) Normal Force (4) Signal of Contact between Tool and Workpiece

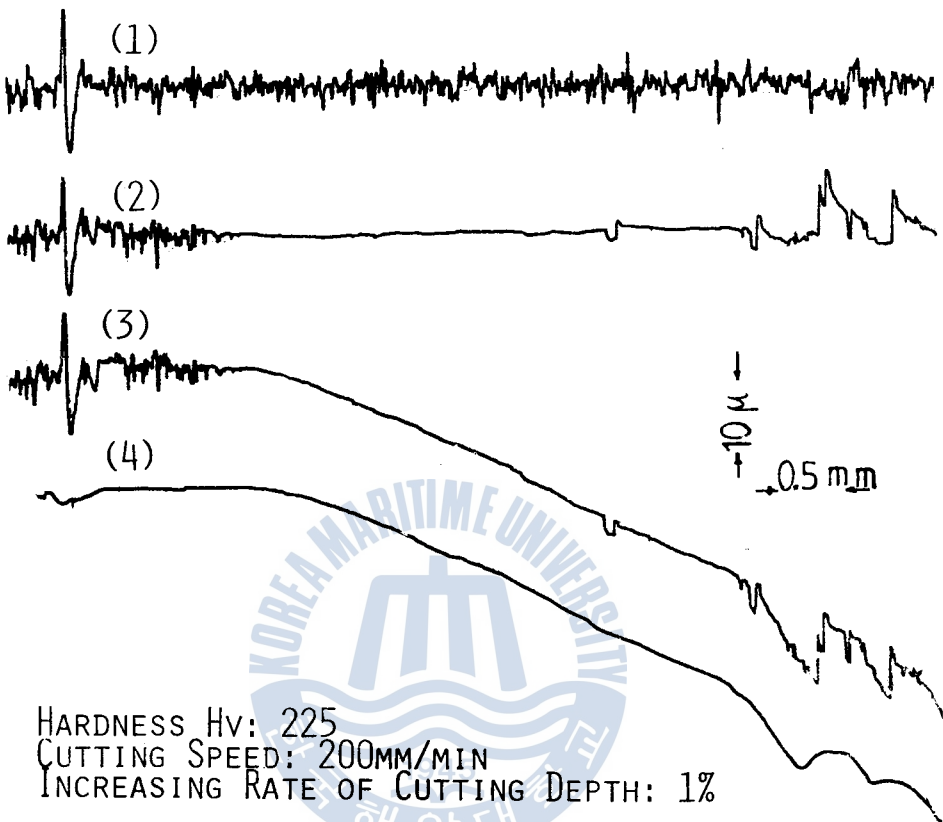
Fig. 5. Examples of cutting force

2.5 表面거칠기 및 表面輪廓의 测定

切削後의 輪廓變化를 测定하기 為하여 SE-3C型 表面거친기 测定機를 利用하였다. 먼저 試驗片에
 허리를 넣고 表面거친기를 测定한 後에, 허리 後方 1mm 程度의 位置로 移動して 切削을 行ない 同一
 位置에 對해다 亂度거친기, 웨이브너즈 텐드밀거친기+웨이브너즈를 각각 测定하였다. 이 때 試料
 허리 뒤의 자그(Jig)를 保持する 利用하여 切削 前後의 测定 位置는 同一하게 保持할 수 있었지.

測定된 자수자 例를 Fig. 6에 나타내었는데 (1)는 加工前의 表面거친기, (2)는 加工 後의 表面거

칠기, (4)는 加工後의 웨이브너스 曲線, (3)은 (2)와 (4)를 겹쳐서 합하여 나타낸 曲線이다. 여기서 웨이브너스 曲線이 表面輪廓을 나타내는 것이다.



(1) Surface Roughness before Cutting, (2) Roughness of Cut Surface
(3) Roughness+Waviness (4) Waviness of Cut Surface

Fig. 6. Example of roughness and waviness of surface

2·6 實驗에 있어서의 파라미터

本研究의 實驗은 乾式 二次元 切削을 行하고 여러가지 切削 파라미터 中에서 切削깊이 增加率, 被削材의 硬度, 切削速度를 變化시킬 경우 過渡切削 特性이 어떻게 되는가를 測定하였다. 그 變化範圍는 다음과 같으며 하나의 파라미터를 變化시킬 때 다른 條件은 一定하게 하였다.

- 切削깊이 增加率 $i(\%)$: 2, 1.5, 1, 0.5, 0.25 (5種)
- 被削材의 硬度 Hv : 105, 125, 180, 225, 295 (5種)
- 切削速度 V(mm/mim) : 15, 25, 45, 125, 200, 370 (6種)

3. 實驗結果 및 考察

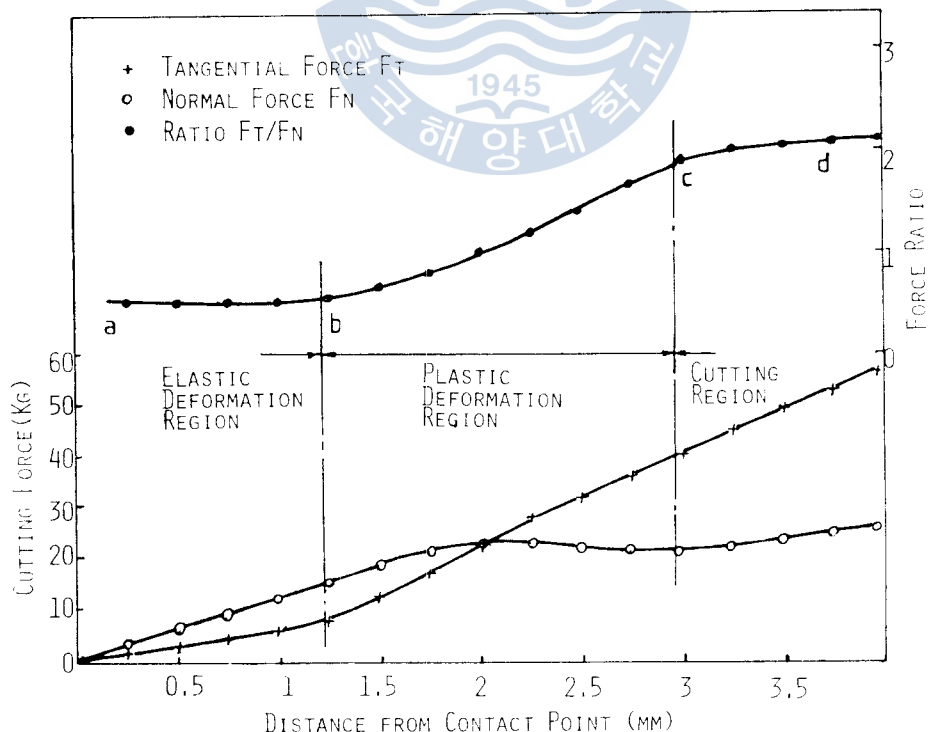
3·1 切削抵抗의 變化過程

實驗結果의 例가 Fig. 5에 提示되었는데 이것의 橫軸은 時間, 縱軸은 切削抵抗을 나타내고 있으

나, 接線分力(主分力)과 法線分力(背分力)이 따로 原點을 取하고 있으며 是當荷重이 바로므로 比較이 困難하다. 그래서 切削速度와 記錄紙의 移送速度를 比較하여 切削距離를 計算하고, 그것을 橫軸으로, 切削抵抗을 縱軸으로 하여 나타낸 것이 Fig. 7이다. 이 그림에서 왼쪽 부분이 나타낸 것은 接線分力와 法線分力의 比이다.

그림의 特性을 살펴보면 接觸後 어느 거리 동안은 法線分力이 接線分力보다 크며 直線的으로 增加하고 그 比가 거의 一定하여 0.5程度이다(ab). 그러다가 法線分力의 極大值를 이루고 다소 減小하거나, 一定한 値을 維持하는 한편 接線分力은 急激히 增加하여 그 比가 急進의 으로 커진다(bc). 다시 接線分力과 法線分力이 비슷하게 增加하여 切削抵抗比는 완만하게 變한다(cd). 이와 같은 切削抵抗比 變化過程은 勇田²⁾, 山本¹¹⁾등의 研究에서 언어진 結果와 같은 傾向을 보임을 알 수 있다.

接觸 初期에는 工具 날끝과 被削材 表面거칠기의 물가 部分이 接觸하여 法線分力에 의하여 彈性變形을 일으키고, 물가 部의 先端이 降伏되면서 剪斷摩擦力を 일으켜 接線分力이 發生하게 된다. 따라서 接線分力와 法線分力보다 작게 된다고 생각된다. 工具가 進行됨에 따라서 接觸面積은 增加하고 接線分力와 法線分力에 比例하여 增加하지만 彈性接觸은 계속되어 被削材 内部는 降伏되지 않는 것이다. 이와 같은 領域을 彈性變形 領域이라 하며, 抵抗曲線에서 ab 區域이 이에 해당된다. 위에서 說明한 彈性接觸의 性質에 따라서 b點의 判別은 接線分力의 기울기가 바뀌는 點으로 取하면 된다. 이와 같은 彈性接觸하는 現象을 러빙(rubbing)이라 하며 勇田²⁾는 轉位 헛트의 觀察로서 이 現象을 檢討하였다.



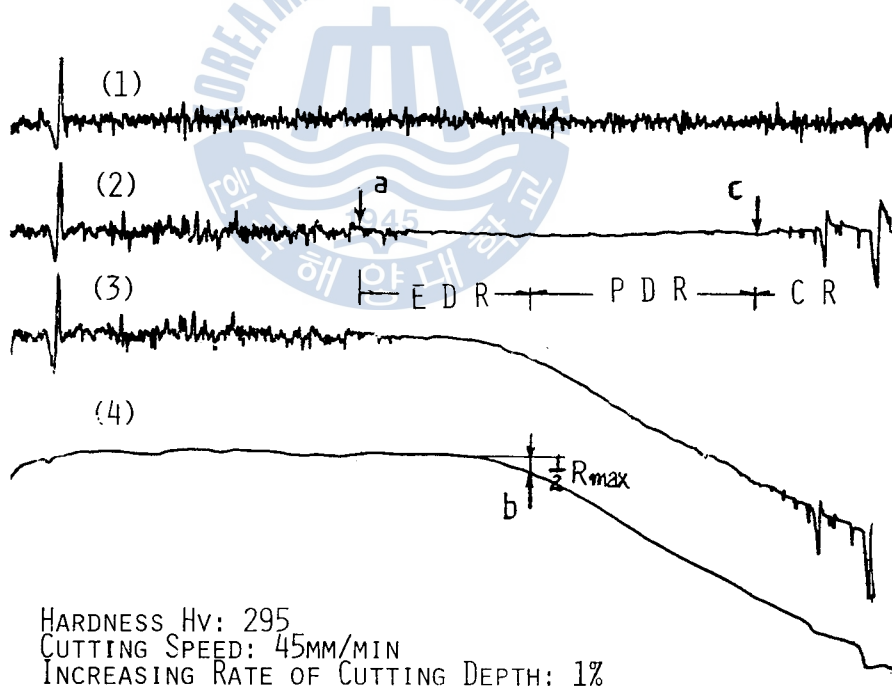
Hardness Hv : 295, Cutting Speed : 45mm/min, Increasing Rate of Cutting Depth : 1%

Fig. 7. Variation of cutting force

또 b點에서 接線分力이 急激히 增加하면서 塑性流動이 始作되고 被削材가 工具 날끝의 앞 部分에 밀려 쌓이면서 工具는 表面 미끄럼을 계속하며 c點에 이른다. 이 領域이 塑性變形 領域이다. 이 領域의 初期에 있어서 被削材의 内部를 塑性變形시키기 까지는 法線分力이 接線分力과 더불어 增加하지만, 일단 塑性變形을 일으킨 後 미끄럼이 일어나는 동안은 法線分力이 一定하게 維持되거나 다소 減少하는 傾向을 나타낸다고 볼 수 있다. 이와 같이 法線分力이 極大值(臨界 法線分力 : critical normal force)를 가지는 것은 切削깊이가 游增하는 過渡切削 過程의 固有의 特性이며, 이것 때문에 切削抵抗의 變動 成分이 發生하고 材料에 따라서는 加工性이 나쁘게 되는 것이다.

c點 近處에서 칩이 發生하면서 定常切削이 始作되는데 이 點을 切削始作點이라 하며, 계속 工具가 進行됨에 따라서 切削깊이가 增加하여 接線分力과 法線分力의 거의 比例하여 커지므로 法線分力의 變化 曲線에 기울기가 바뀌는 點이 생긴다. 따라서 이 절삭 저항의 기울기가 바뀌는 점을 切削始作點으로 볼 수 있다. 또 接觸始作點에서 切削始作點까지의 거리를 미끄럼 距離(Sliding Distance)라 하며 이 값의 大小는 加工에 있어서 重要한 性質이 된다.

이상과 같이 切削抵抗의 變化過程에 依하여 過渡切削 現象을 說明할 수 있으나 절삭 저항 曲선의 기울기가 바뀌는 點의 區分이 明確하지 않기 때문에 그 變形 領域을 區分하기에는 어려움이 있다.



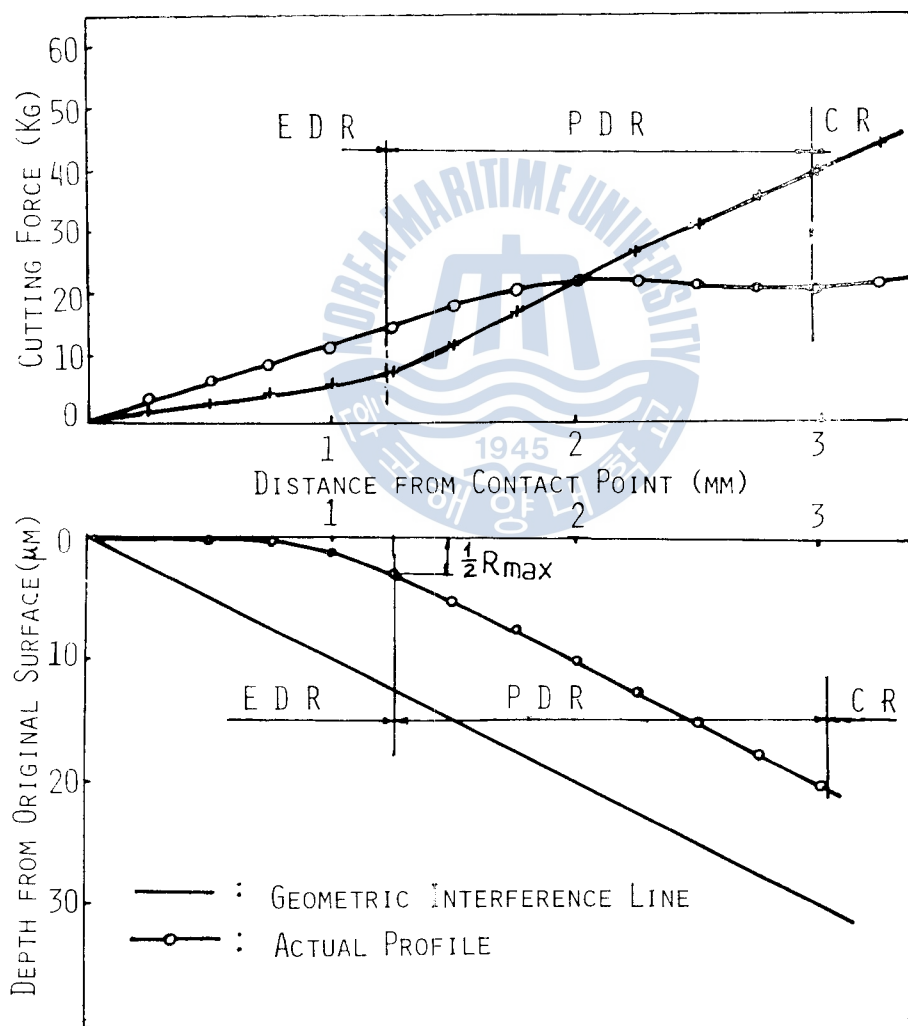
(1) Surface Roughness before Cutting, (2) Roughness of Cut Surface
(3) Roughness + Waviness (4) Waviness of Cut Surface
EDR : Elastic Deformation Region, PDR : Plastic Deformation Region
CR: Cutting Region

Fig. 8. Roughness and waviness in transient region.

3·2 表面輪廓의 檢討

Fig. 8에서 알 수 있는 바와 같이 表面거칠기의 測定結果에서 工具와 試驗片의 接觸부始作點은 切削前後의 表面거칠기 曲線을 比較하여 거칠기 曲線의 둘기 部分에 變化가 일어난 點으로서 判斷할 수 있으으며 그림의 a點이다. 이것은 加工된 試驗片을 工具顯微鏡으로 觀察하여 a와 b點으로 부터의 거리를 測定한 結果와 잘一致하였다.

且 工具가 接觸한 後 被削材 위로 미끄러지면서 表面을 베너니싱(burnishing)하여 光滑하게 만들다가, 切削이始作점에서 칩을 除去하고 表面을 거칠게 만들라고 생각되며 때문에, 切削始作點은 切削後의 表面거칠기 曲線(2)에서 거칠기가 0의 狀態에서 거칠어지기始作하는 點이며 c點으로



Hardness Hv: 295, Cutting Speed: 45mm/min, Increasing Rate of Cutting Depth: 1%

Fig. 9. Comparison of cutting force and profile

判斷된다. 한편 웨이브니스 曲線의 끝치 部分은 表面거칠기 曲線의 끝치 部分과 特性이 다르므로 표면거칠기十웨이브니스 曲線을 媒介로 하여 接觸始作點과 切削始作點을 確認하였다.

한편 彈性變形領域과 塑性變形領域의 區分은 웨이브니스 曲線에서 가공된 表面輪廓과 원래의 表面과의 差異가 표면거칠기 R_{max} 의 절반 정도 되는 點으로 取할 수 있으며, 그림에서 b 點이 된다. 이것은 表面의 削除이 除去되는範圍의 變形을 彈性變形으로 보며, 基地의 材料가 벼어나싱 되어서 공구 날끝에 밀려 쌓이는 범위를 塑性變形領域으로 볼 수 있기 때문이다.

한편 表面輪廓의 變化狀態를 接觸始作點에서 부터의 距離에 對하여 나타낸 것이 Fig. 9의 아랫部分이다. 이 그림에서 幾何學的인 干涉線은 工具와 工作物이 剛體의으로 干涉하여 그部分이 모두 침으로 除去될 경우의 表面位置를 나타내며 實際輪廓은 實제로 가공되어 얻어진 表面輪廓을 表示한 것이다. 여기서 나타나는 實際輪廓과 幾何學的 干涉線과의 差異는 切削에 隨伴되는 시스템 剛性, 接觸剛性, 表面거칠기, 被削材의 스프링백 등의 영향으로 切削되지 않고 남는 部分이라고 생각된다.

3·3 切削始作點에 對한 考察

앞 節에서 切削抵抗의 變化 및 表面特性을 各各 利用하여 過渡切削 現象을 檢討하였는데 여기서는 두가지를 結付시켜 考察하고자 한다.

Fig. 9에서 比較한 바와 같이 切削抵抗에 依한 判定과 表面特性에 依한 判定이 거의 같게 되지만, 이 때 切削抵抗에 依한 判定은 曲線의 기울기가 變하는 點을 찾아서 내리는 것이므로 어려움이 있으며, 여기서 表面輪廓의 特性을 結付시켜서 그 境界를 區分하면 領域의 境界가 더욱 明確하게 판별될 수 있다.

山本등의 研究¹¹⁾에서는 法線分力이 極大值에 到達하는 點이 切削始作點이라고 發表하고 있으나 이것은 잘못이 있다고 생각된다. 첫째 理由로 3.1절에서 檢討한 바와 같이 法線分力이 極大值를 이룬 後에 다소 減少하거나 一定하게 維持된다는 것은 被削材 内部가 塑性變形을 시작하였을 뿐 切削이 이루어지지 않고 계속하여 工具가 미끄러지고 있다는 事實을 意味하기 때문이다. 만약 이 點에서부터 定常切削 狀態로 들어 갔다고 하면 切削깊이가 增加하기 때문에 法線分力이 接線分力과 더 불어 增加하여야 한다. 또 둘째 理由로 3.2절에서 檢討한 바와 같이 表面特性으로 부터 찾은 切削始作點은 法線分力이 極值를 이룬 點보다 工具가 훨씬 더 미끄러진 後의 點이기 때문이다.

한편 宇野의 研究¹⁴⁾에서는 切削抵抗比(F_T/F_N)가 2로 되는 點이 切削始作點이라고 하였으며 定常切削領域에서는 그 比가 2로써 一定하다고 發表하였다. 勇田의 判定基準에 依하면 切削始作點이 本研究의 경우보다 다소 늦게 나타났으나 큰 차이는 없다. 그러나 定常狀態에서 切削抵抗比가 2로써 一定하다는 것은 問題點이 있다. 왜냐하면 切削抵抗과 切削깊이 사이에 정상 절삭 상태에서는 近似的인 線形性이 維持되지만 過渡切削의 特異性 때문에 完全히 比例하지 않으므로¹⁷⁾, 比가 一定한 값이 되기는 어렵기 때문이다.

結局 本研究에서는 表面거칠기의 測定에 依하여 切削깊이가 漸增하는 경우의 過渡切削 現象을 彈性變形領域, 塑性變形領域, 切削領域으로 區分하여 그 特性을 檢討할 수 있었다. 또 過渡切削

現象에서重要한特性인工具의 마끄럼距離는 주로表面特性에依하여測定하였고,臨界法線分力은切削抵抗變化에依하여測定하였으려, 몇 가지切削條件에對한關係는 다음節에서考察하고자한다.

3·4 切削條件이過渡切削特性에 미치는影響

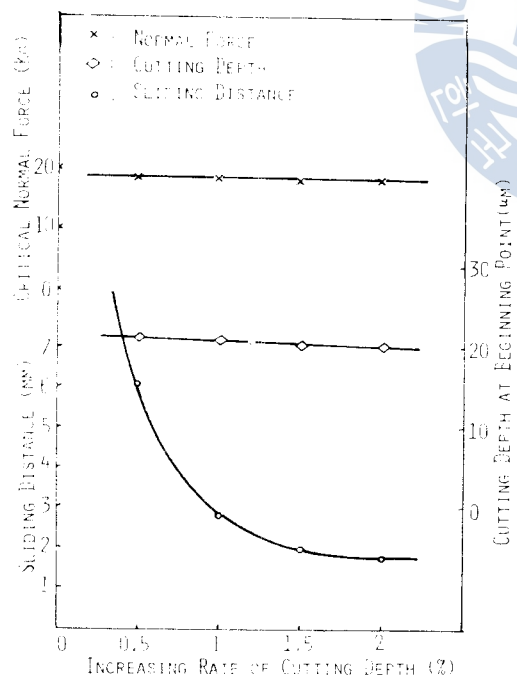
3.4.1 切削깊이增加率의影響

Fig. 10은切削깊이增加率만을變化시킬 때臨界法線分力, 마끄럼距離, 切削始作點에서의切削抵抗이가變化하는상태를그린것이다.

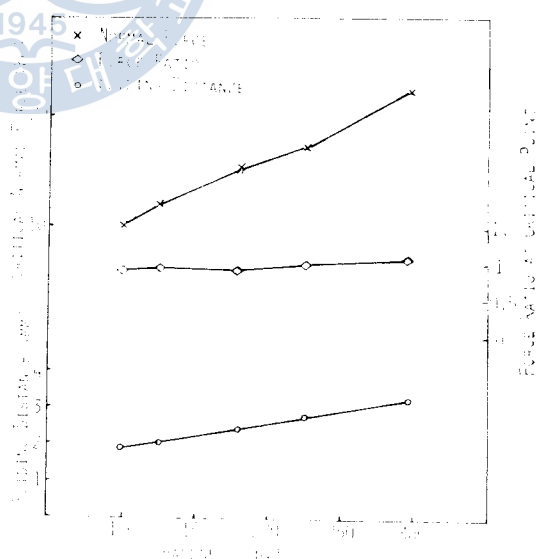
切削깊이增加率이커지면마끄럼距離는작아지며거의反比例的인關係가成立된다. 이것은工具과被削材가큰角度로干渉할수록빨리칩이生成되는것을意味한다.

또한切削始作點에서의切削깊이는 $20\mu\text{m}$ 程度로거의一定하며切削깊이增加率이커질수록다소작아지는傾向을볼수있다. 그런데白井에依하면切削깊이가漸變하지않는보통切削의경우예리한바이트로切削可能한最小깊이는 $13\mu\text{m}$ 이라고한다.¹⁷⁾ 이것과比較하면상당히큰값을보이는바그理由는表面거칠기, 마끄럼의持續性때문이라고생각된다.

한편臨界法線分力은거의一定하여被削材의硬度에따라서달라질뿐이다. 그런데약간의減少現象은제거를받는경우의落伏에미치는영향으로説明될수있다.



Hardness Hv: 225, Cutting speed: 45mm/min
Fig. 10. Effects of increasing rate of cutting depth



Cutting speed: 45mm/min
Increasing Rate of Cutting Depth: 1%

Fig. 11. Effects of hardness

3.4.2 被削材 硬度의 影響

Fig. 11은 被削材의 硬度가 變하는 경우 臨界 法線分力 및 臨界 法線分力이 發生하는 때의 接線分力과의 比, 미끄럼 距離 등이 어떻게 變하는가를 나타낸 것이다.

臨界 法線分力은 材料의 硬度가 커질 수록 거의 直接的으로 增加하는 것을 알 수 있다. 또 切削力比는 材料의 硬度에 영향을 받지 않고 一定하다. 이것은 硬度의 變化에 對하여 接線分力과 法線分力이 거의 같은 比率로 增加하는 것을 意味한다.

또 미끄럼 距離는 材料의 硬度가 커질 수록 커지며 그 程度는 比較的 輕微하다.

以上의 結果로써 材料의 硬度가 클 수록 工具가 材料에 파고 들어가기 어려우며 보다 큰 힘이 걸리는 것을 알 수 있다. 切削 現象은 材料가 降伏點을 넘어서 剪斷面上으로 슬립이 일어나고 그것이 積蓄되어 칩을 形成하면서 이루어지는 過程이므로 切削抵抗은 材料의 降伏應力 또는 파괴강도에 比例하여 커지며 硬度에 比例하여 커지는 것이다. 뿐만 아니라 臨界 法線分力은 材料를 降伏시켜서 塑性變形을 일으키고 持續시키는데 必要한 힘이므로 硬度에 따라서 變하는 것은 당연하다고 생각된다.

3.4.3 切削速度의 影響

Fig. 12는 切削速度의 變化에 따라서 臨界 法線分力, 미끄럼 距離가 어떻게 變하는가를 나타낸 그림이다. 切削速度가 低速인 範圍에서 切削速度가 增加함에 따라서 臨界 法線分力은 근소하게지만 增加하는데 이것은 過渡切削 過程이 갖는 特殊性이다. 또한 切削速度가 커짐에 따라서 미끄럼 距離는 增加하며 半對數 그라프 上에서 直線的으로 변화한다. 여기서 미끄럼 距離가 增加하는 原因은 날끝面 上의 摩擦係數의 變化 및 被削材의 變形速度의 變화에 依한 變形性의 差異에 基因한 것이라고 생각된다. 即 摩擦係數는 彈性接觸 領域에서는 速度에 關係없이 一定하지만 塑性變形 領域에 들어가면 切削速度가 커질 수록 작아지며, 變形性은 變形速度가 增加할 수록 작아지므로 工具가 進行됨에 따라서 被削材가 工具 날끝에 쌓여서 칩으로 除去되기 어려워진다. 그래서 미끄럼 距離가 增加한다고 생각된다. 그러나 이 增加는 低速에서의 現象이며 어떤 限界가 있을 것이고, 高速에서 어떻게 될 것인가는 之後 檢討할 餘地가 있다.

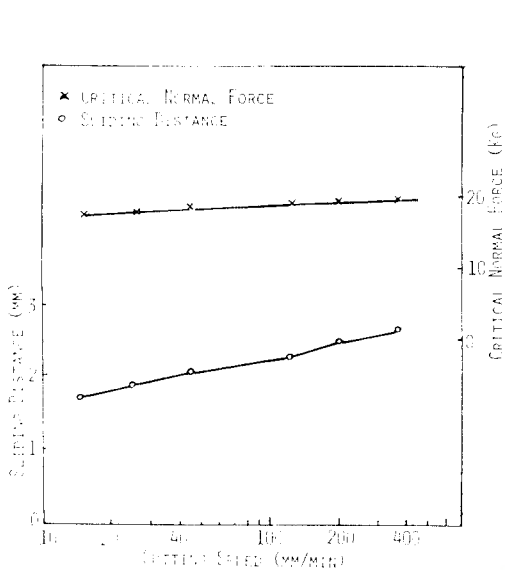
3.5 定常切削過程에의 活用에 對한 提言

지금 까지는 切削이 定常狀態에 到達하기 前의 問題에 對하여 考察하였는데, 여기서는 切削깊이가 漸變하는 경우의 定常切削 實驗을 利用하여 一般 切削에서의 切削面積에 對한 切削抵抗의 關係式을 導出하는 方案에 對하여 檢討하여 보기로 한다. 앞에서 얻은 實驗 結果 中에서 경도가 다른 2가지를 取하여 切削깊이와 切削抵抗의 關係를 Fig. 13에 나타내었다. 이 關係에서 알 수 있는 切削主分力과 背分力を 利用하여 切削抵抗 F を 計算하고, 切削깊이와의 關係를 利用하면 다음과 같은 關係式의 係數 및 指數들을 쉽게 實驗的으로 求할 수 있다.

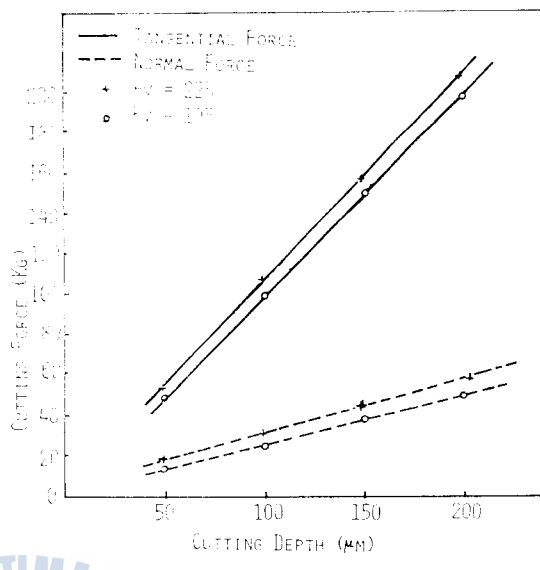
$$F = C_1 t^\alpha \cdot s^\beta \quad \text{또는} \quad F = C_2 A^\gamma$$

여기서 t 는 절삭깊이, s 는 절삭폭, A 는 절삭면적, C_1 , C_2 , α , β , γ 는 常數이다.

한가지 問題點으로 實際의 切削速度에서 實驗하기가 어려운 것이지만 宇野의 研究¹⁴⁾에서와 같이,



Hardness Hv: 225
Increasing Rate of Cutting Depth: 1%
Fig. 12. Effects of cutting velocity



Cutting Speed: 45mm/min
Increasing Rate of Cutting Depth: 1%
Fig. 13. Relation between cutting force and cutting depth

旋盤에서 바이트를 2次元 切削하면서 工具를 새들(saddle)의 橫移送으로 移動시켜 切削깊이를 變化시키면 可能할 것이다.

4. 結論

切削깊이가漸增하는 2次元 切削을 模型實驗으로 行하고, 切削抵抗과 裏面거칠기를 測定하여 過渡切削 過程에 關한 現象을 究明하였으며 다음과 같은 結論을 얻었다.

1. 切削깊이가漸增하는 경우의 過渡切削 現象은 弹性變形領域, 塑性變形領域, 切削領域으로 나누어지며, 裏面거칠기의 測定에 依하여 分明히 區分될 수 있다.
2. 切削깊이增加率이 높을 때 巴刃距離는 작아지며, 切削始作點에서의 切削깊이는 一定하며 臨界 法線分力도 一定하다.
3. 被削材의 硬度가 커질 때 臨界 法線分力은 直線的으로 커지며 巴刃距離는 增加한다.
4. 切削速度가 增加할 때 臨界 法線分力은 僅少하게 增加하고, 巴刃距離도 增加한다.

本論文의 完成하기 까지 始終 指導하여 주신 辛致教學長官께 衷心으로 感謝드립니다, 아울러 激勵와 助言을 하여주신 金永植博士님, 丘之錫博士님께 感謝드립니다.

本研究를 遂行함에 以어서 實驗을 도와준 釜山大學校 工科大學 生產機械工學科 朴慶澤助教와 金鍾仁技士에게 感謝의 意를 表하는 바입니다.

參 考 文 獻

1. 正野崎友信：金属切削における Ploughing について，機械と工具，1964，12月號，pp. 13~18.
2. 勇田敏夫：切削初期現象の観察，精密機械，V. 35, No. 5, pp. 292~298, (1969)
3. R. S. HAHN: Metal Cutting Chatter and Its Elimination, Trans. of ASME, V. 75, No. 3, pp. 1073~1080, (1953, Aug.)
4. 岡村健二郎，中島利勝，宇野義幸：過渡的切削過程における表面特性の研究(第1報)，精密機械，V. 39, No. 6, pp. 590~595, (1973), 岡村健二郎，中島利勝，井上一陽，宇野義幸：過渡的切削過程における表面特性の研究(第2報)，精密機械，V. 39, No. 8, pp. 794~800, (1973)
5. 岡村健二郎，中島利勝，宇野義幸，梶田英夫：過渡的切削過程における表面特性の研究(第3報)，精密機械，V. 43, No. 7, pp. 814~819, (1977)
6. 勇田敏夫，田頭孝介：二次元切削により生ずる加工變質領域の観察，精密機械，V. 39, No. 3, pp. 312~317, (1973)
7. 坂本正史，中村平，末安正治：りん青銅切削における切れ刃のすべり，日本機械學會論文集，V. 43, No. 375 pp. 4287~4295, (1977)
8. 奥島啓貳，人見勝人：金属切削における過渡現象について，日本機械學會論文集，V. 26, No. 169, pp. 1216~1222, (1960)
9. 勇田敏夫：切削初期現象に及ぼす工具切れ刃先端半径と被削材表面層の影響について，精密機械，V. 36, No. 3, pp. 202~206, (1970)
10. 勇田敏夫：切削初期現象に影響を及ぼす二，三の因子について，精密機械，V. 37, No. 2, pp. 93~97, (1971)
11. 山本明，中村示：微小切削における切削開始の條件について，精密機械，V. 24, No. 5, pp. 310~315, (1968)
12. 小栗幹男，藤井洋，太田忠夫，森弘道：切削厚さの漸變する非定常切削機構について，日本機械學會論文集，V. 40, No. 330, pp. 591~599, (1974)
13. 小栗幹男，藤井洋，山口勝美，加藤仁：フライス削りの初期切削機構について，日本機械學會論文集，V. 41, No. 345, pp. 1576~1586, (1975)
14. 宇野義幸，津和秀夫：過渡的切削過程に関する研究(第1報)，精密機械，V. 42, No. 5, pp. 358~363, (1976)
15. 岡村健二郎，中島利勝，宇野義幸：過渡的切削過程に関する研究(第2報)，精密機械，V. 43, No. 5, pp. 597~602, (1977)
16. WEINMANN, K. J., TURKOVICH, B. F. VON: Mechanics of Tool-Workpiece Engagement and Incipient Deformation in Machining of 70/30 Brass, Trans. ASME, J. of Engineering for Industry, V. 93, No. 4, pp. 1079~1089, (1971)
17. 田井英治：切削・研削加工學 上，共立出版株式會社，東京，pp. 24~27, (1978)